

# О ЛИНЕЙНОЙ ДЛИННОВОЛНОВОЙ УСТОЙЧИВОСТИ ЦИЛИНДРИЧЕСКОГО СТАЦИОНАРНОГО ЛАМИНАРНОГО ПЛАМЕНИ В ВИХРЕВОЙ СРЕДЕ

П. П. Лазарев, А. С. Плешанов  
(Москва)

В реальных течениях на ламинарный фронт пламени могут действовать вихревые возмущения со стороны свежей смеси. В данной работе рассматривается устойчивость фронта пламени в первоначально завихренном течении. Исследование проводится в линейном (по амплитуде возмущений) приближении и для гидродинамических возмущений, так что их длины волн велики по сравнению с тепловой шириной фронта пламени. Анализ ведется на основной границе устойчивости, где декремент затухания равен нулю (течение стационарно).

Плоское цилиндрическое стационарное течение несжимаемой и невязкой жидкости описывается уравнениями непрерывности

$$\frac{\partial}{\partial r} (rv_r) + \frac{\partial v_\varphi}{\partial \varphi} = 0 \quad (1)$$

и движения, которые здесь удобно использовать в форме Ламба [1]:

$$\frac{\partial B}{\partial r} - v_\varphi R = 0, \quad (2)$$

$$\frac{1}{r} \frac{\partial B}{\partial \varphi} + v_r R = 0, \quad (3)$$

где

$$B = \frac{p}{\rho} + \frac{1}{2} (v_r^2 + v_\varphi^2); \quad R = \frac{1}{r} \frac{\partial}{\partial r} (rv_\varphi) - \frac{1}{r} \frac{\partial v_r}{\partial \varphi}. \quad (4)$$

Здесь  $v$  — скорость;  $p$  — давление;  $\rho$  — плотность;  $B$  — функция Бернулли;  $R$  — ротор скорости;  $r$  — радиус;  $\varphi$  — полярный угол; индексы у  $v$  указывают компоненты. Из (1) следует существование функции тока  $\psi$ , так что

$$v_r = \frac{1}{r} \frac{\partial \psi}{\partial \varphi}, \quad v_\varphi = - \frac{\partial \psi}{\partial r}. \quad (5)$$

Из (2), (3), (5) получим

$$B = f(\psi), \quad -R = \Delta \psi = \frac{df}{d\psi}, \quad (6)$$

где  $f$  — произвольная функция  $\psi$ .

Простейшим случаем неоднородного вихревого течения, описываемого аналитической функцией  $f(\psi)$  и инвариантным относительно знака  $\psi$ , является ситуация четной функции  $f = f_0 \pm 1/2(k\psi)^2$ , так что при параметре завихренности  $k \rightarrow 0$  получается потенциальное течение. Покажем, что такое течение единственно в классе мультипликативного представления  $\psi = \omega(r)\gamma(\varphi)$ . После подстановки  $\psi$  в (2), (3), интегрирования (3) по  $\varphi$  и подстановки результата интегрирования в (2) получим

$$\frac{\omega\omega'}{r^2} \gamma\gamma'' - \frac{\omega}{r} \left(\frac{\omega}{r}\right)' \gamma'^2 - \frac{\omega^2}{2} \left[\frac{(r\omega')'}{r\omega}\right]' \gamma^2 = g'(r) \quad (7)$$

и для  $B$  имеем

$$B = \frac{\omega^2}{2} \left[ \left(\frac{\gamma'}{r}\right)^2 + \frac{(r\omega')'}{r\omega} \gamma^2 \right] + g(r). \quad (8)$$

Здесь  $g$  — произвольная функция  $r$ ; штрихи означают дифференцирование по  $r$  и  $\varphi$  соответственно. При  $\gamma = \varphi$  из (7) следует

$$(r\omega')'/(r\omega) = \pm k^2, \quad g = g_0 - 1/2(\omega/r)^2, \quad (9)$$

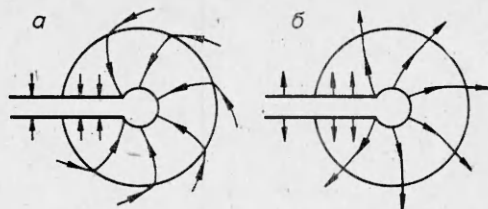


Рис. 1.

а из (8) ( $B_0 = g_0$ )

$$B = B_0 \pm 1/2(k\psi)^2. \quad (10)$$

При  $\gamma = \sin l\varphi (\cos l\varphi)$  из (7) следует  $(r\omega')/(r\omega) - (l/r)^2 = \pm k^2$ ,  $g = g_0 - 1/2(l\omega/r)^2$ , а из (8) — то же выражение  $B$ . Аналогичные результаты получаются и при  $\gamma = \text{sh } l\varphi (\text{ch } l\varphi)$ . Перечисленные вы-

ражения единственны, при которых в (7) разделяются переменные.

Течение с постоянным знаком  $\psi$  при изменении  $r$  описывается функцией  $f = f_0 + 1/2(k\psi)^2$ . Считаем, что контуру пламени соответствует значение  $r = \text{const} = r_0$ , при течении внутрь в начале координат есть сток продуктов сгорания, а при течении наружу там же — источник свежей смеси. Условие постоянства нормальной компоненты скорости на однородном фронте пламени, типичное для нормального распространения пламени (см., например, [2]), осуществляется лишь при  $\gamma = \varphi$ . Получающийся при этом разрыв  $v_n$  при  $\varphi = \pm \pi$  можно реализовать соответствующим отсосом или вдувом на лучах  $\varphi = \pm \pi$ .

Схема исследуемого невозмущенного течения представлена на рис. 1 (*а* — течение внутрь, *б* — наружу). Наличие стока или источника в начале координат и отсоса или вдува на лучах  $\varphi = \pm \pi$  делает данное рассмотрение модельным. Общее решение для  $\omega$ , как это следует из (9), имеет вид

$$\omega = \omega_1 I_0(kr) + \omega_2 K_0(kr), \quad (11)$$

где  $\omega_{1,2}$  — постоянные интегрирования;  $I_0$  и  $K_0$  — функции Бесселя индекса 0 от мнимого аргумента первого и второго рода соответственно.

Рассматриваем далее для определенности течение внутрь. Решения, переходящие при  $k_\alpha \rightarrow 0$  в известные [3], ввиду (11) таковы:

$$\begin{aligned} \psi_1 &= \hat{\psi}_{11} I_0(x_1) \varphi, \\ \psi_2 &= [\hat{\psi}_{21} I_0(x_2) + \hat{\psi}_{22} K_0(x_2)] \varphi, \end{aligned} \quad (12)$$

где  $x_\alpha = k_\alpha r$ ; индекс  $\alpha = 1, 2$  относится к средам до и после разрыва соответственно; символ  $\hat{\Lambda}$  означает амплитуду. Из условий непрерывности на фронте пламени нормальной потока массы  $\{\rho v_n\} = 0$ , тангенциальной компоненты скорости  $\{v_\tau\} = 0$  и нормального потока импульса

$$\{p + \rho v_\tau^2\} = 0 \quad (\{f\} \equiv f_2 - f_1)$$

следует

$$\frac{x_{20}}{x_{10}} = \sqrt{\frac{\rho_2}{\rho_1} \left\{ 1 - \left( 1 - \frac{\rho_2}{\rho_1} \right) \left[ \frac{I_1(x_{10})}{I_0(x_{10})} \right]^2 \right\}}. \quad (13)$$

Таким образом, зная  $\rho_2/\rho_1 < 1$  и  $x_{10} = k_1 r_0$  (не умаляя общности, можно считать  $B_{10} = 0$ ), определим из (13)  $x_{20} = k_2 r_0$  и затем из (4), (10), (12) и условий непрерывности — отношения  $\hat{\psi}_{21}/\hat{\psi}_{11}$ ,  $\hat{\psi}_{22}/\hat{\psi}_{11}$  и  $B_{20}$ . Из возмущенных уравнений (2), (3) получаем

$$B' = f'(\psi) + \frac{df}{d\psi} \psi', \quad (14)$$

$$-R' = \Delta\psi' = \frac{\partial B'}{\partial \psi} = \frac{df}{d\psi} + \frac{d^2 f}{d\psi^2} \psi', \quad (15)$$

где штрихи относятся к возмущениям.

Таким образом, в вихревом неоднородном течении возмущение  $R'$  включает не только собственно возмущение  $R$ , пропорциональное  $f'$ , но и неоднородный член, пропорциональный  $\psi'$ , поэтому при отсутствии  $f'$

(в среде до разрыва) возмущение вихря скорости по-прежнему есть и обусловлено неоднородностью невозмущенного вихревого течения. Первоначальное чисто вихревое течение остается полностью вихревым и в возмущенном состоянии. С математической точки зрения неоднородное уравнение (15)

$$\Delta\psi' - \frac{d^2f}{d\psi^2} \psi' = \frac{df'}{d\psi}$$

имеет соответствующее однородное уравнение

$$\Delta\psi' - \frac{d^2f}{d\psi^2} \psi' = 0,$$

а не  $\Delta\psi' = 0$ , которое дает акустические возмущения.

Выражение для  $f'$ , очевидно, аналогично  $f$  и имеет вид  $f' = f'_0 + 1/2 \times (k'\psi)^2$ . Тогда из (15) получим

$$\Delta\psi' - k'^2\psi' = k'^2\psi. \quad (16)$$

Решения (16) с учетом (12) имеют вид

$$\psi'_1 = \widehat{\varphi}'_{12} K_0(x_1) \varphi, \quad (17)$$

$$\psi'_2 = \widehat{\varphi}'_{21} I_0(x_2) \varphi + 1/2 (k'_2/k_2)^2 x_2 [\widehat{\varphi}'_{21} I_1(x_2) - \widehat{\psi}'_{22} K_1(x_2)] \varphi,$$

где решениями однородного уравнения (16) ( $k' = 0$ ) взяты возмущения, затухающие по мере удаления от разрыва. На фронте пламени выполняются граничные условия

$$\delta j \equiv \rho_1 \left( v'_{1r} + \frac{\partial v'_{1\varphi}}{\partial r} \zeta' \right) = \rho_2 \left( v'_{2r} + \frac{\partial v'_{2\varphi}}{\partial r} \zeta' \right) = j \kappa \zeta', \quad (18)$$

$$\delta v_\varphi \equiv v'_{1\varphi} + \frac{\partial v'_{1\varphi}}{\partial r} \zeta' + \frac{v'_{1r}}{r_0} \frac{\partial \zeta'}{\partial \varphi} = v'_{2\varphi} + \frac{\partial v'_{2\varphi}}{\partial r} \zeta' + \frac{v'_{2r}}{r_0} \frac{\partial \zeta'}{\partial \varphi}, \quad (19)$$

$$p'_1 + \frac{\partial p'_1}{\partial r} \zeta' + 2j v'_{1r} \kappa \zeta' = p'_2 + \frac{\partial p'_2}{\partial r} \zeta' + 2j v'_{2r} \kappa \zeta', \quad (20)$$

где  $j = \rho_1 v'_{1r} = \rho_2 v'_{2r}$  — поток массы;  $\kappa$  — коэффициент, пропорциональный энергии активации реакции горения [4];  $\zeta'$  — возмущение координаты  $r$  фронта пламени, которое в данном случае чисто радиальное ( $\zeta \equiv \widehat{\zeta}'$ ). Более удобным граничным условием, чем (20), является эквивалентное условие

$$\rho_2 \delta B_2 - \rho_1 \delta B_1 = -(1 - \rho_2/\rho_1)(v'_{2r} \delta j + \rho_1 v'_{1\varphi} \delta v_\varphi), \quad (21)$$

где с учетом (14)

$$\delta B \equiv B' + \frac{\partial B}{\partial r} \zeta' = f' + \frac{df}{d\psi} \left( \psi' + \frac{\partial \psi}{\partial r} \zeta' \right) \equiv f' + \frac{df}{d\psi} \delta \psi.$$

Подставляя (17) в (18)–(21) и исключая амплитуды  $(k'_2/k_2)^2$ , получим характеристическое уравнение относительно  $\lambda = \kappa r_0$  в виде

$$\lambda = -1 + f_1 \cdot (a + bh)/(c + dh), \quad (22)$$

где при  $\mu = \rho_2/\rho_1$

$$a = 1 + \frac{(1 - \mu) f_1 + f_2}{g_1}, \quad b = 1 + \frac{x_{10}^2/f_1 - 1}{g_1},$$

$$c = 1 + \frac{f_3}{\mu g_1}, \quad d = 1 + \frac{f_1}{g_1},$$

$$f_1 = \frac{x I_1}{I_0} \Big|_{x_{10}}, \quad f_2 = \frac{x I_1}{I_0} \Big|_{x_{20}},$$

$$g_1 = \frac{x K_1}{K_0} \Big|_{x_{10}}, \quad g_2 = \frac{x K_1}{K_0} \Big|_{x_{20}},$$

$$h = (1 - \mu) f_1 \left( 1 - \mu \frac{f_1 f_2}{x_{20}^2} \right).$$

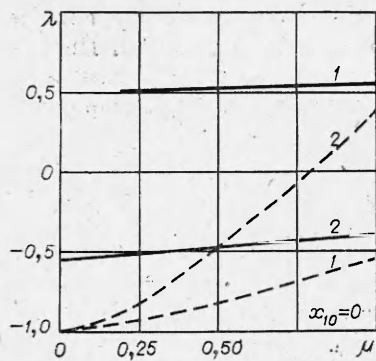


Рис. 2.

Для течения наружу в приведенных формулах следует заменить  $f_2$  на  $-g_2$ ,  $g_1$  на  $-f_1$ . Кроме того, ввиду  $\kappa \sim v_{1r}$  [4] меняется знак  $\kappa$ . В дальнейшем используется  $\kappa \sim |v_{1r}|$ .

На рис. 2 даны зависимости  $\lambda$  от  $\mu$  при  $x_{10} = 1$ ; 2 для течения внутрь ( $\lambda_1$  — сплошные кривые) и наружу ( $\lambda_2$  — штриховые). Области устойчивости находятся над этими кривыми. Потенциальному течению ( $x_{10} = 0$ ) соответствуют значения  $\lambda_1 = 1$  и  $\lambda_2 = -1$  [3]. Можно аналитически показать, что

$$\lambda_1(\mu = 1) + \lambda_2(\mu = 1) = 0,$$

$$\lambda_1(\mu = 0) < \lambda_1(\mu = 1), \lambda_2(\mu = 0) = -1.$$

Наличие первоначальной завихренности для течения внутрь повышает устойчивость, а для течения наружу — понижает. При малой завихренности течение внутрь менее устойчиво, чем течение наружу, а при большой — наоборот. При уменьшении отношения плотностей продуктов сгорания и свежей смеси устойчивость для обоих течений возрастает.

Описанное поведение кривых  $\lambda(\mu)$  в функции параметра  $x_{10}$  является естественным продолжением эволюции этих кривых в потенциальном случае [3]. Так, например, полученное в [3] решение для цилиндрического пламени в частном случае учета только осевых возмущений (в [3] этот случай соответствует значению номера азимутального возмущения  $m = 0$  и физически означает наличие возмущений типа «перетяжек») в коротковолновом приближении ( $kr_0 \rightarrow \infty$ ,  $k = 2\pi/\Lambda$ ,  $\Lambda$  — длина волны возмущения) дает результат Ландау [3]  $\kappa/k \rightarrow 1/2(1 - \mu)$  для течений как внутрь, так и наружу. В длинноволновом приближении ( $kr_0 \rightarrow 0$ ) для течения внутрь имеет место  $\kappa r_0 \rightarrow 1$  и наружу  $\kappa r_0 \rightarrow -1$ . Последующий учет первоначальной зависимости приводит к картине, описанной в данной работе.

Поступила в редакцию 13/1 1982

#### ЛИТЕРАТУРА

1. Г. Ламб. Гидродинамика. М.—Л.: Гостехиздат, 1947.
2. Л. Д. Ландау, Е. М. Лифшиц. Механика сплошных сред. М.: Гостехиздат, 1953.
3. П. П. Лазарев, А. С. Плешанов. ФГВ, 1983, 19, 1.
4. П. П. Лазарев, А. С. Плешанов. ФГВ, 1980, 16, 6.

## ВЛИЯНИЕ ДАВЛЕНИЯ НА ГОРЕНИЕ МАГНИЯ

М. Е. Дерезяга  
(Винница)

Использование порошкообразных металлов в качестве горючего в энергетических установках обусловило проведение широких исследований по влиянию различных параметров на процесс их горения.

Изучалось также влияние давления на горение малых частиц [1—3] и лент [4] магния. Анализ конденсированных остатков после сгорания магниевых частиц в модельном двигателе [1] показал, что массовая доля остатков крупной фракции (порядка исходных размеров частиц) с увеличением давления возрастает. Время парофазного горения (время видимого свечения) капель магния, измеренное в [2], убывало с увеличением дав-